



دانشگاه آزاد اسلامی
 واحد زانجان

فصلنامه زمین‌شناسی کاربردی

سال ۸ (۱۳۹۱)، شماره ۴: ۲۸۵-۳۰۰

www.appliedgeology.ir

بررسی تأثیر مشخصات فیزیکی و شیمیایی نهشته‌های تراورتن بر پارامترهای استخراج در معادن طرق

مجید اعلائی^{۱*}، رامب باقر پور^۲ و مهدی یزدی^۳

کارشناس ارشد زمین‌شناسی، مدیر اکتشاف معادن شرکت احرار سپاهان، اصفهان، aalaeimajid@yahoo.com

۲) استادیار دانشکده مهندسی معدن، دانشگاه صنعتی اصفهان

۳) استاد گروه زمین‌شناسی، دانشکده علوم، دانشگاه اصفهان

^{*} عهده‌دار مکاتبات

دریافت: ۹۱/۲/۲۷؛ دریافت اصلاح شده: ۹۱/۱۰/۱؛ پذیرش: ۹۱/۵/۱۰؛ قابل دسترس در تاریخ: ۹۲/۴/۳۰

مکمل

ایجاد سیستم‌های برنامه‌ریزی و کنترل مواد و تولید بر پایه مطالعات واقعی علمی در معادن یک ضرورت و الزام تعیین کننده است. در این مقاله با تلفیق دو علم زمین‌شناسی و معدن ابتدا فرآیند تشکیل نهشته‌های تراورتن، ویژگی‌های فیزیکی و شیمیایی و تأثیر آن در استخراج بررسی شد، سپس با استفاده از داده‌های جمع آوری شده در مدت ۹ ماه، راهکارهایی جهت بهینه کردن روش و پارامترهای استخراجی در معدن سنگ تراورتن شرکت احرار سپاهان ارائه گردید.

واژه‌های کلیدی: زمین‌شناسی، پارامترهای استخراج، تراورتن، معادن طرق، سیم برش الماسه.

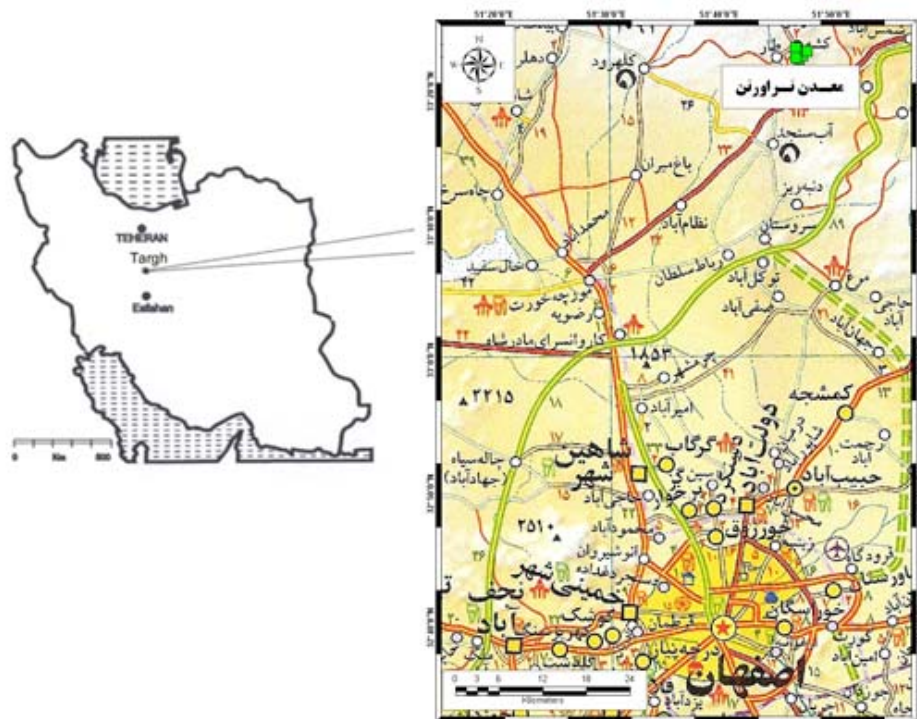
۱- مقدمه

تراورتن یک سنگ رسوبی از نوع آهکی، متخلخل و کلسیم دار با منشأ شیمیایی است. این سنگ از ته نشست کربنات کلسیم نزدیک چشممه‌ها و به صورت لا یه لایه تشکیل می‌گردد (Mitchel 1985). هنگامی که آب چشممه در سطح زمین جریان پیدا می‌کند، در اثر تغییر شرایط فیزیکی و شیمیایی مقدار زیادی از املاح آن رسوب کرده و رسوبات چشممه‌ای را به وجود می‌آورد. عوامل مؤثر در ترکیب این املاح، تبخیر، سرد شدن، کاهش فشار، از دست دادن دی اکسید کربن، عمل باکتری‌ها و جلبک‌ها می‌باشند. هفت عامل اصلی مؤثر در ساخت تراورتن عبارتند از: نیروی جنبشی

N33 22 18 E51 47 04 1:100000
الماسی شناخته شده باشد یا وجود این تأثیر نوعی اختصار تلقی شود، آنگاه باید به عنوان یک متغیر مجازی در مدل لحاظ گردد.
طقه باشند. راه دسترسی به این منطقه از طریق جاده نظر، با عبور از روستاهای یحیی آباد و طرق در حدود سه کیلومتر پس از روستای طرق و نرسیده به روستای کشه می‌باشد (تصویر ۱). این مجتمع دارای سه کارگاه استخراجی است (تصویر ۲).

۱- موقعیت جغرافیایی

معدن مورد مطالعه متعلق به شرکت احرار سپاهان، واقع در ورقه



تصویر ۱- موقعیت جغرافیایی و راههای دسترسی به منطقه مورد مطالعه



تصویر ۲- تصویر ماهواره‌ای معدن تراورتن شرکت احرار سپاهان (Google Earth 2010)

۱۳- بحث

می رسد (طبیبی و توفیقیان ۱۳۸۱). با افزایش دمای آب در دهانه چشم، محیط دریاچه و جوی های اطراف سکو، توانایی آب برای حمل عناصر محلول نیز کاهش یافته و این عناصر به صورت نهشته های دیواری شکل و طولی در مسیر آب های جاری ته نشین می شوند.

محدوده تراورتن شرکت احرار سپاهان دارای سه کارگاه استخراجی می باشد. کارگاه شماره یک دارای رنگ شکلاتی است. کارگاه شماره دو دارای رنگ های روشن سفید و کرم و کارگاه شماره سه به رنگ نقره ای می باشد. در این مقاله تأثیر وجود ناخالصی ها در راندمان تولیدی معادن تراورتن مورد توجه قرار گرفت.

۱۴- کاهش فشار CO_2

آبی که در قسمت های زیرین دریاچه جریان دارد، فشار جزیی و دی اکسید کربن بالایی دارد. در این حالت، آب توانایی زیادی برای انحلال و انتقال عناصر کربناته به سطح زمین دارد. در نتیجه، آب چشم های کف دریاچه دارای املاح زیادی هستند. متناسب با کاهش عمق، فشار جزیی CO_2 به آهستگی کاهش می یابد. در سطح زمین و جوی های اطراف سکو که فشار جزیی دی اکسید کربن کاهش می یابد، نهشته های کلسیتی به صورت نواری شکل در مسیر آب های جاری ته نشین شده و کانال های خود ساخته آهکی را به وجود می آورند.

۱۵- هریان و آشفتگی آب

آبهای جاری دی اکسید کربن زیادی از دست می دهند. جابه جایی مولکول های آب جوی ها که در تماس با هوای آزاد قرار دارند، در روند این کاهش مؤثر است. هر چه آب آشفته تر باشد، میزان CO_2 موجود در آن کاهش می یابد. به نسبت کاهش CO_2 ، توانایی نگهداری مواد محلول در آب نیز کاهش یافته و این عناصر به شکل نهشته هایی در بستر و کناره های کانال ته نشین می شوند.

۱۶- فتوسنتر

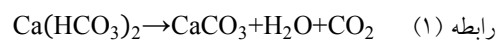
در اطراف جوی های اصلی که در قسمت شمال غرب و جنوب شرق سکوی آهکی جاری هستند، گیاهان رشد زیادی دارند. رشد گیاهان در این بخش ها باعث افزایش سرعت نهشته شدن کربنات کلسیم در اطراف و بستر جوی ها شده است. گیاهان با عمل فتوسنتر و مصرف دی اکسید کربن، توانایی حلایت آب را کاهش داده، در نتیجه، آب نمی تواند مواد محلول در خود را حمل کند. بنابراین، کربنات کلسیمی که در آب وجود دارد، ته نشین می شود (رضایی مقدم و قدری ۱۳۸۹).

۱۷- عوامل تشکیل تراورتن های رنگی

برای تشکیل تراورتن در هر نقطه، وجود سنگ های آهکی الزامی است. در ادامه، آب و گاز کربنیک در شرایطی خاص باعث حل شدن

۱۸- فرآیند تشکیل کانال های فود سافتہ آهکی

بی کربنات کلسیم به صورت محلول در بین سنگ های آهکی زیرین زمین در جریان است، زمانی که به سطح زمین می رسد، CO_2 خود را از دست داده و کربنات کلسیم به صورت نامحلول ته نشین می شود. در محیط های خشکی در دهانه چشم های آهک ساز، کربنات کلسیم به دو صورت تراورتن و توفا تشکیل می شود. بر اساس رابطه (۱)، فاکتور اصلی تشکیل کربنات کلسیم خروج و مصرف CO_2 است. بنابراین هر عاملی که باعث خروج CO_2 شود، آهک یا کربنات کلسیم را به وجود می آورد.



آبی که از چشم های کف دریاچه بالا می آید، از دو دریچه شمالی و جنوبی به بیرون جاری می شود. این آب به علت داشتن CO_2 ، توانایی انحلال بالایی دارد و عناصر کربناته را به صورت محلول از قسمت های زیرین با خود بالا می آورد. وقتی آب چشم های حاوی بی کربنات دریاچه به سطح زمین می رسد، CO_2 خود را از دست داده و توانایی حلایت آن ها کاهش می یابد. در این مرحله، مواد محلول آب به صورت نهشته های توپایی و به شکل طولی در مسیر کانال ها ته نشین می شوند (Fouke et al. 2000).

۱۹- عوامل مؤثر در پیدایش و تمول کانال های فود سافتہ آهکی
تشکیل نهشته های کلسیتی و پیدایش کانال های خود ساخته آهکی در روی سکو و زمین های اطراف آن بر اثر عواملی از جمله دمای آب، کاهش فشار CO_2 ، جریان آشفتگی آب و فتوسنتر صورت گرفته است.

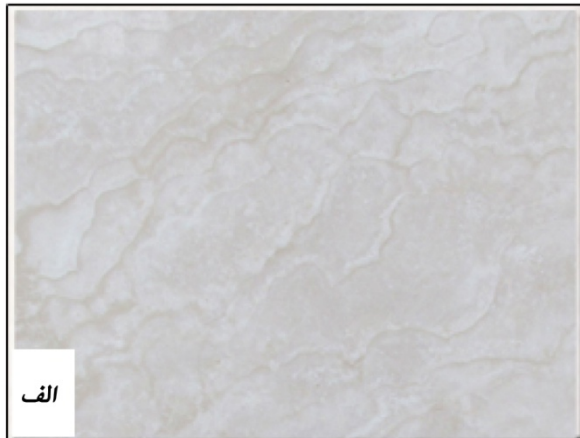
۲۰- نقش دمای آب

آب سرد بیشتر از آب گرم می تواند سنگ آهک را تخریب و در خود حل کند. آب چشم ها در زیر زمین، دمای کمتر و توانایی بیشتری برای انحلال و بالاآوردن عناصر کربناته دارند. دمای آب دریاچه در سطح، حدود ۲۰ تا ۲۱ درجه سانتی گراد است. این دما، در عمق ۳۰ سانتی متری ۱۹ درجه (عارف ۱۳۷۲)، در ۳۵ متری ۱۸ درجه و در کف دریاچه که پایین تر از ۳۵ متر عمق دارد، به ۱۷ درجه سانتی گراد

یا فلزهای دیگر الزامی است تا در آب چشممه های تراورتن حل شده و کربنات پایه سنگ را رنگین کنند. تجزیه شیمیایی سنگ های مختلف نشان دهنده آن است که برای رنگین شدن تراورتن ها وجود مقدار کمی اکسید آهن کافی است (رهبر و نبوی ۱۳۹۷). فعالیت ماغمایی ائوسن (سنگ های آتشفشاری کرکس) مهم ترین عامل رنگ تراورتن های رنگی منطقه طرق است.

سنگ آهک شده و در نهایت کربنات به صورت تراورتن رسوب می کند. در بیشتر ذخایر تراورتن کشور، سنگ معدن استخراجی فاقد رنگ متنوع بوده و اغلب به رنگ سفید شیری و کرمی دیده می شود. مهم ترین ویژگی تراورتن های شرکت احرار سپاهان رنگ های منحصر به فرد و زیبای آنها می باشد که در ایران کم نظیر است (تصویر ۳).

برای رنگین شدن تراورتن های یک ناحیه، وجود مقداری نمک آهن



الف



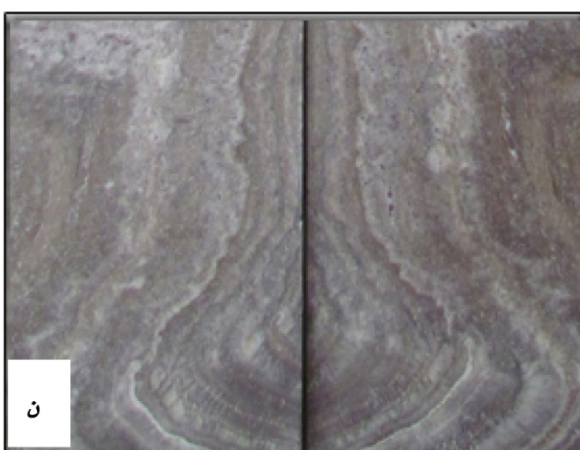
ب



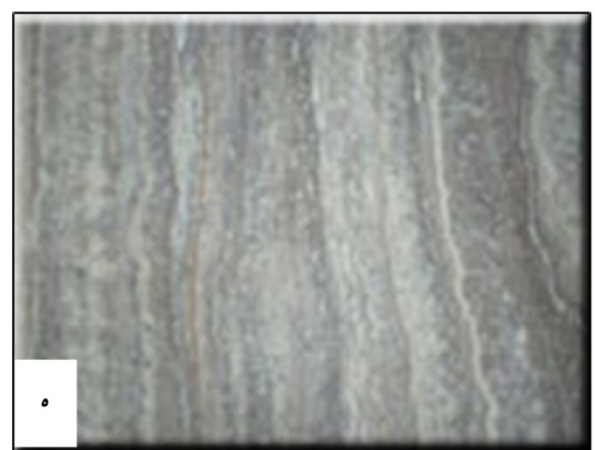
ج



د



ن



ه

تصویر ۳- تصاویر سنگ های فرآوری شده تراورتن از معدن طرق شرکت احرار سپاهان: الف و ب- کربنات کلسیم فاقد آهن و منگنز (کارگاه شماره ۲)، ج و د- کربنات کلسیم دارای آهن (کارگاه شماره ۱)، ن و ه- کربنات کلسیم و آهن و منگنز (کارگاه شماره ۳). کلیه نمونه ها حاصل فرآوری سنگ های معدن تراورتن طرق شرکت احرار سپاهان در کارخانجات سنگبری این شرکت واقع در منطقه صنعتی محمودآباد اصفهان می باشند.

زندیک سطح است که به همراه حالت آهن دار نشان دهنده آن است که محل اصلی سیمانی شده در منطقه فراتیک متئوریک است (موسوسی خرمی و محبوبی ۱۳۷۳). تخلخل روزنه ای، تخلخلی با فضاهای خالی کم و بیش طویل شده است که معمولاً جهت دار بوده و گاهی به یکدیگر متصل و به طور منظم قرار می گیرند. در بعضی مقاطع دانه های آواری غالباً از جنس کوارتز می باشند. آثار دیاژنر متئوریک در بعضی مقاطع به صورت رشد دوباره و میکرایتی شدن بلورهای اسپارایت به چشم می خورد. سیمان نوع فرینچ که از سوزن های ریز آراغونیت تشکیل شده نیز گاهی مشاهده می شود (نصر اصفهانی و رئیسی دهکردی ۱۳۸۷).

لامیناسیون در مقیاس میلی متری در تراورتن ها معمول است که اغلب از رشد متناوب فصلی /روزانه به وجود می آید (Marks et al. 2006)

نتایج تجزیه شیمیایی ۱۱ نمونه برداشتی از تراورتن های معادن شرکت احرار سپاهان در جدول ۱ آورده شده است.

همزمان با ته نشست آراغونیت، عناصر Ba و Sr به دلیل تشابه زیاد با کلسیم می توانند وارد ساختار آراغونیت شوند. میزان بالای آرسنیک و همراهی با مقادیر قابل توجه فلزات مس و روی تأییدی بر ترمومژن بودن احتمالی رسوبات تراورتن است.

اکسید سیلیس با افزایش سرعت، میزان تشکیل تراورتن، فاصله گرفتن از سنگ بستر و افزایش اکسید کلسیم، کاهش می یابد. مقادیر اکسید تیتانیوم و آلومینیوم با اجزا تخریبی از جمله ذرات سیلیس و خانواده رس ها کترول می شود.

آراغونیت در دمای بالاتر و در سرچشمه های آب گرم تشکیل می شود و با دور شدن از چشمه ها و پایین آمدن دما فقط کلسیت شکل می گیرد (Fouke et al. 2000)

دیاژنر سریع آراغونیت به کلسیت، تشخیص اینکه کانی اولیه آراغونیت یا کلسیت است را مشکل می کند. آب های گرمابی غالباً استرانسیم بالایی دارند، بنابراین آراغونیت نیز می تواند استرانسیم بالایی داشته باشد. اما منیزیوم بالا فقط در کلسیت مشاهده می شود.

تغییر آراغونیت به کلسیت به واسطه چرخش آب های جوی، باعث ته نشینی کلسیت با درصد استرانسیم پایین می شود. در طول این تغییر، کلسیت با استرانسیم بالا در سرچشمه ها مشاهده می شود. درصد اکسید کلسیم در توالی ها تقریباً ثابت است. این مسئله نشان دهنده آن است که آب های آهک ساز در طی تشکیل این تراورتن ها ترکیب نسبتاً پایداری داشته اند. میزان متوسط منیزیوم در کلسیت با تراورتن های ترمومژن مطابقت نشان می دهد (Pentecost 1995).

۷- مطالعات پتروگرافی و آنژیمی تراورتن های منطقه

سیمان تراورتن اغلب میکرایت، میکروسپار و اشکال مختلف بلورهای کلسیت است. آنچه در مقاطع نازک میکروسکوپی دیده می شود ماتریکس و سیمان است و آلوکمی به شکل واقعی وجود ندارد. میکرایت در مقاطع همگن نبوده و دارای نواحی با بلورهای ریز و درشت و مرزهای بین بلوری مسطح، خم شده، نامنظم و مضرسی می باشد. این میکرایت تیره و به شکل نواحی اپاک با نواحی مبهم و گاه به صورت کلوخه ای، ریسمان مانند و یا لایه های متناوب با دیگر بافت ها دیده می شود. میکرایت در اطراف و بین سیانوباکتری نهشته می شود (Pentecost & Viles 1994).

در بعضی مقاطع میکرایت از طریق نئومورفیسم افزایشی توسط میکروسپار موژائیکی درشت تر (۵ تا ۱۵ میکرون) جانشین شده است. اسپارایت در مقاطع به صورت موژائیکی و بلورهای درهم قفل شده و در حاشیه حفرات (کلسیت دندان سگی) قابل مشاهده است. بلورها در مناطقی که به مدت طولانی در زون فراتیک قرار داشته و شرایط لازم از جمله حرکت محدود آب و رشد آهسته حاکم است، اندازه بزرگی پیدا می کنند (Pentecost 1995).

بلورهای فیبری و ستونی کلسیت با استرانسیم بالا به همراه لامیناسیون های درشت تا ریز مشاهده می شوند. در سرعت رسوبگذاری بالاتر کلسیت به صورت بلورهای دندریتیک (درخت مانند) ظاهر می شود که این ساختمان اغلب با تراورتن های ترمومژن همراه است (Pentecost 1995). در تراورتن های کارگاه شماره ۳، زون بندی ظرفی حاصل از تغییرات کمی در مقادیر آهن و منگنز دیده می شود. در برخی از مقاطع، ماتریکس میکرایتی (کمتر از ۴ میکرون) به طور موضعی توسط میکروسپار (۴-۱۰ میکرون) جانشین شده است.

بر اساس بررسی های میکروسکوپی، تنها آلوکم موجود در سنگ های کربناته غیردریایی این ناحیه ذرات کروی و بیضوی از کربنات های ریز بلور با قطر $0.1 - 0.5$ میلی متر به نام پلوئید هستند. آلوکم های متدائل در سنگ های کربناته دریایی و دریاچه ای در این سنگ ها مشاهده نشد، بنابراین می توان گفت که این سنگ ها به طور عمده از زمینه (ارتوكم) تشکیل شده اند.

تخلخل ثانویه قابل مشاهده در حفره ها و غارها در اثر انحلال دانه در سنگ و از طریق آبسوبی توسط آب های زیرزمینی تشکیل می شود. حفرات اغلب به همراه رشد کلسیت دروزی (Calcite Drusy) مشاهده می شوند. کلسیت دروزی، سیمان تیپیک دیاژنر متئوریک

براساس جدول ۱، اگر در زمان تشکیل نهشته های تراورتن، میزان ناخالصی کمتر باشد، رنگ کوب های تولیدی سفید می باشد که موجب افزایش ارزش ریالی آنها می شود. چنانچه در زمان تشکیل نهشته های تراورتن، ناخالصی وجود داشته باشد با توجه به نوع و میزان ناخالصی کوب های تولیدی به رنگ های متنوعی دیده می شوند.

۹- بررسی موضوعی استخراج به روشن سیم برش الماسه

در روش برش با سیم الماسه مواد ساینده روی سیم نصب شده و برش توسط خود سیم انجام می گیرد. سیم برش متشکل از سیم فولادی، فنر، بوش یا فاصله دهنده، نر و مادگی اتصال سیم و سگمنت الماسه می باشد. قطر کلی سیم برش الماسه ۱۰ تا ۱۱ میلی متر می باشد که در فاصله مشخصی روی سیم فولادی به قطر ۵ میلی متر و به تناوب مهره های الماس دار و فنر قرار می گیرد. تعداد سگمنت ها در هر متر طول سیم الماس حدود ۳۲ تا ۴۰ عدد است که در فواصل ۲۵ تا ۳۲ میلی متر از یکدیگر قرار دارند. برای محکم کردن مهره ها و فنر به یکدیگر، بین آن ها یک یا دو حلقه فاصله دهنده تعییه می شود. در دو سر سیم به وسیله دستگاه مونتاژ، نر و مادگی مونتاژ می شود که برای وصل کردن قطعات مختلف سیم به یکدیگر و در نهایت به منظور اتصال ابتدا و انتهای سیم، مورد استفاده قرار می گیرد (تصویر ۴). دستگاه برش در نزدیکی سطح برش قرار داده می شود و طول سیم متناسب با سطح مورد نظر که باید بریده شود انتخاب می شود (عطایی ۱۳۸۷).

برای راحتی و ایمنی کار با دستگاه برش و کنترل آن (از قبیل نحوه چرخش، میزان کشش، سرعت و ...)، تابلویی طراحی کرده اند که در چند متری دستگاه قرار می گیرد. عملیات برش توسط تابلوی کنترل و به طور اتوماتیک انجام می شود. روی این تابلو دکمه ای قرار دارد که می توان با استفاده از آن سرعت برش و کشش سیم را در زمان برش تنظیم کرد.

نیروی محركه ماشین برش یک موتور الکتریکی است که داخل یک محفظه است و باعث چرخش قرقه ای با قطر زیاد به نام پولی شده و در نهایت منجر به حرکت سیم الماسه می شود. کل سیستم روی ریل سوار بوده و می تواند به جلو و یا عقب حرکت کند. کشش سیم در حین کار توسط حرکت دستگاه روی ریل تنظیم می شود. بدین صورت که وقتی سیم الماسه روی سنگ قرار گرفت و شروع به کار کرد، دستگاه به آرامی به سمت عقب حرکت می کند و باعث می شود که سیم با کشش بیشتری با سنگ تماس حاصل کند (تصویر ۵). در حقیقت میزان کشش سیم از طریق میزان حرکت دستگاه روی ریل تعیین می شود (عطایی ۱۳۸۷).

در صورتی که باریم در حین تبدیل آرگونیت به کلسیت وارد بلور کلسیت شود، منشأ آن به آبهای زیرزمینی نسبت داده می شود. به طور کلی تجمع عناصر فرعی در آب های ترمومژن به میزان مجاورت بیشتر از آب های دیگر است. علت آن شستشوی کافی، زمان مجاورت طولانی تر و فعالیت هیدرولرمال می باشد که منجر به افزایش سرعت واکنش بین سنگ میزبان با آب های جوی گرم شده در اعمق و یا آب های هیدرولرمال می شود. بیشتر آهن موجود در تراورتن در جازا می باشد که از آبهای زیرزمینی حاوی یون های آهن در مجاورت با اتمسفر ته نشست پیدا می کند. متوسط میزان آهن و منگنز تراورتن ها، ترمومژن بودن آنها را نشان می دهد. اورانیوم بیشترین مقدار را در سرچشممه ها دارد (Glover & Robertson 2003). وجود نقره و مس، ترمومژن بودن نهشته ها را نشان می دهد. میزان سولفور و فسفر به سمت پایین جریان افزایش می یابند. سیلیس در تراورتن می تواند در جازا یا دگر جازا باشد، اما عملاً تفکیک این نوع سیلیس مشکل است. وجود عناصر باریوم، تیتان و اکسید الومینیوم ممکن است نشان دهنده دگر جازا بودن باشد زیرا در PH بین ۷-۸ (که تراورتن سازی صورت می گیرد) معمولاً این عناصر به شکل محلول وجود ندارند. وجود عناصری مانند وانادیوم و اسکاندیوم به رادیواکتیو بودن چشممه های آب گرم نسبت داده می شوند (Pentecost & Viles 1994).

از نظر شکل، تراورتن های منطقه مورد مطالعه از نوع شکاف - پشتہ و مربوط به زمان کواترنر می باشند. تراورتن های تیپ شکاف پشتہ از یک شکاف مرکزی که تراورتن های نواری (bonded travertine) در آن رسوب کرده اند و تراورتن های شیب دار (bedded travertine) (Bargar 1978, Chafetz & Folk 1984).

شکل گیری این مجموعه بدین صورت است که آب های اشباع از کربنات کلسیم از شکاف مرکزی بالا آمده و موجب رسوب تراورتن در دیواره شکاف و نیز طرفین آن می شوند که در بعضی موارد کمی انحنادار هستند. در جایی که نرخ جریان آب بالا آمده از شکاف مرکزی زیاد بوده، پشتہ ایجاد شده ارتفاع کم و عرض زیاد دارد. همچنین در محلی که نرخ جریان آب کم بوده، رسوبگذاری تراورتن در اطراف شکاف مرکزی بیشتر و در نتیجه ارتفاع پشتہ زیاد و عرض آن کم است (Altunel & Hancock 1996).

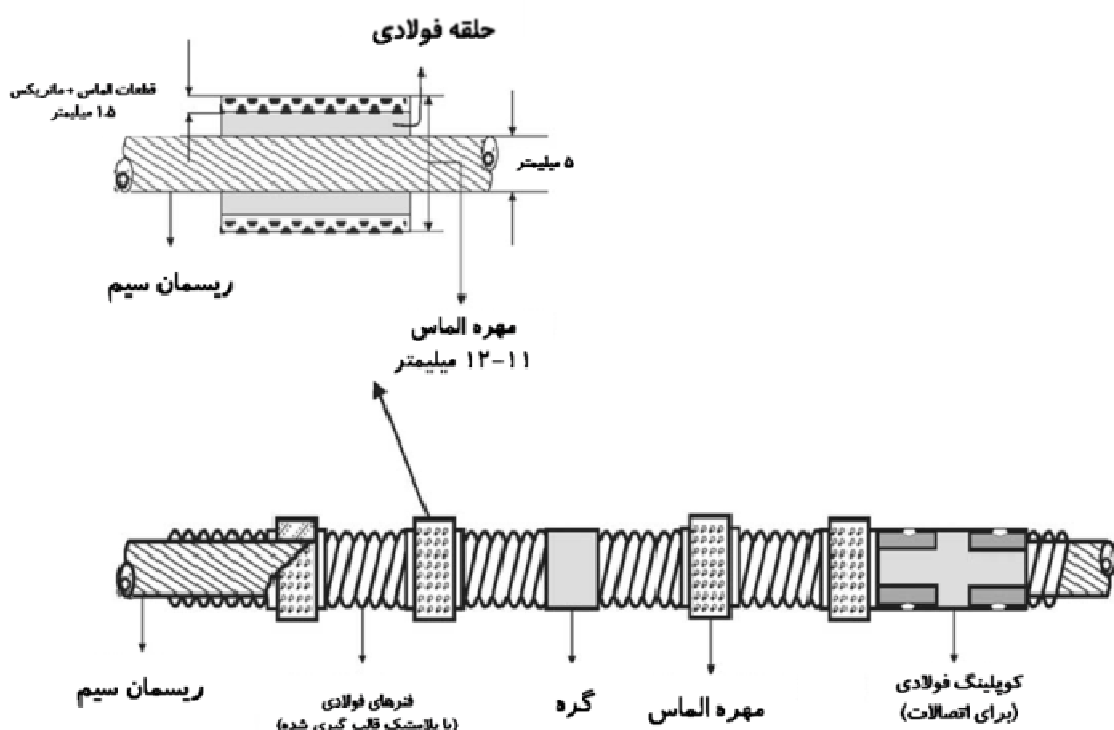
۸- نتایج آنالیز شیمیایی تراورتن های معدن شرکت امراه سپاهان

تعداد ۱۱ نمونه از تراورتن های معدن شرکت احرار سپاهان مورد مطالعه ایکس آراف (X-ray Fluorescence, XRF) قرار گرفتند.

جدول ۱- نتایج تجزیه شیمیایی سنگ های تراورتن معدن شرکت احرار سپاهان. نمونه ها به روش XRF و در آزمایشگاه مرکزی دانشگاه اصفهان مطالعه شدند.

Sample	۴۴	۴۵	۴۶	۴۷	۴۸	۴۹	۵۰	۵۱	۵۲	۵۳	۵۴
Element											
CaO	۵۵/۲۹	۵۶/۳۷	۵۵/۶۲	۵۴/۵۳	۵۵/۷۶	۵۵/۷۰	۵۵/۷۰	۵۶/۲۳	۵۶/۶۶	۵۵/۳۹	۵۳/۳۷
MgO	۰/۳۴۳	۰/۱۹۱	۰/۲۲۱	۰/۴۱۶	۰/۲۲۴	۰/۳۰۱	۰/۲۹۴	۰/۱۴۱	۰/۱۶۵	۰/۳۱۶	۰/۰۵۷
SiO₂	۰/۱۴۴	۰/۰۲۵	۰/۳۱۳	۱/۲۴	۰/۲۹۹	۰/۳۰۱	۰/۱۳۸	۰/۰۷۱	۰/۱۲۷	۰/۳۳۰	۲/۴۷
SO₃	۰/۱۸۹	۰/۰۲۸	۰/۰۵۲	۰/۰۷۷	۰/۰۵۰	۰/۰۶۰	۰/۰۹۷			۰/۱۱۶	۰/۱۰۱
ZnO	۰/۰۶۴	۰/۰۴۷	۰/۰۳۵	۰/۰۸۹	۰/۰۵۵	۰/۰۴۱	۰/۰۷۵	۰/۰۲۷	۰/۰۲۰	۰/۰۶۲	۰/۰۵۸
Fe₂O₃		۰/۱۵۲	۰/۲۱۹	۰/۰۶۷	۰/۰۶۴	۰/۰۴۵	۰/۰۹۸	۰/۰۵۱	۰/۱۹۱	۰/۲۲۵	
Al₂O₃	.۰۰۵۵		۰/۱۲۰	۰/۴۳۸	۰/۱۰۰	۰/۱۰۰	۰/۰۴۷	۰/۰۲۶	۰/۰۴۰	۰/۱۱۰	۰/۷۸۷
Cuo	۰/۰۱۵	۰/۰۱۴	۰/۰۱۵	۰/۰۱۴	۰/۰۱۵	۰/۰۱۵	۰/۰۱۵	۰/۰۱۴	۰/۰۱۴	۰/۰۱۴	۰/۰۱۵
SrO	۰/۰۱۴	۰/۰۱۰	۰/۰۱۹	۰/۰۱۴	۰/۰۱۳	۰/۰۲۰	۰/۰۱۷	۰/۰۰۵	۰/۰۰۹	۰/۰۱۵	۰/۰۲۰
MnO		۰/۰۴۷	۰/۱۰۷								
K₂O		۰/۰۱۶	۰/۰۷۰	۰/۰۱۸	۰/۰۱۶				۰/۰۱۲	۰/۱۳۰	
TiO₂										۰/۰۴۵	
LOI	۴۳/۸۸	۴۳/۳۰	۴۳/۳۸	۴۲/۷۳	۴۳/۳۹	۴۳/۳۴	۴۳/۵۰	۴۳/۲۵	۴۲/۸۸	۴۳/۴۱	۴۲/۱۸
Total	۹۹/۹۹	۹۹/۹۹	۹۹/۹۹	۹۹/۹۴	۹۹/۹۹	۹۹/۹۷	۹۹/۹۸	۹۹/۹۶	۹۹/۹۷	۹۹/۹۷	۹۹/۹۶

پوسٹ ماری قرمز مسی قرمز سورت رنگ سفید شکلاتی نقره‌ای سفید گرم پوسٹ



تصویر ۴- تصویر نمونه ای از سیم الماسه و سطح مقطع از مهره الماسه.

۱۰- (و) مماسه مصرف ویژه سیم و بازدهی سیم برش در ارزیابی استفاده

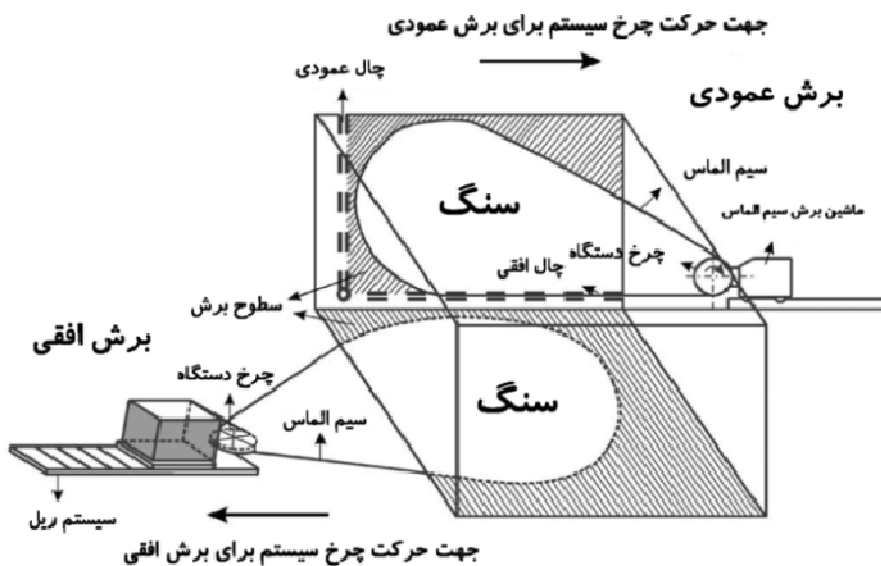
کیفیت سیم و مهارت اپراتور دارد. در جدول ۲ پارامترهای تأثیرگذار بر بازدهی سیم برش و مصرف ویژه سیم ارائه شده است. برای دستیابی به نتایج دقیق تر یکسری از پارامترها ثابت و دو خصوصیت ماشین برش (سرعت سیم و ابعاد بلوک) به عنوان متغیر در نظر گرفته شدند. در جداول پیوست (پیوست ۱ تا ۹) مشخصات برش شامل سرعت برش، طول سیم، ابعاد و مقدار برش به همراه سرعت برش ذکر شده و خلاصه ای از محاسبات آماری بر گرفته از آنها در رابطه با بازدهی سیم برش و مصرف ویژه سیم در جدول ۳ و تصاویر ۶ و ۷ ارائه شده است.

۱۰- (و) مماسه مصرف ویژه سیم بازدهی سیم برش در

بازدهی سیم برش؛ میزان سطحی از سنگ است که به واسطه سیم برش در یک ساعت بریده می شود. محاسبات آماری بازدهی سیم برش در جدول ۳ آورده شده است.

۱۰- (و) مصرف ویژه سیم

مقدار متوسط طولی از سیم می باشد که به ازای هر متر مربع از سنگ فرسوده می شود و بستگی به خصوصیات مهندسی سنگ تراورتن،



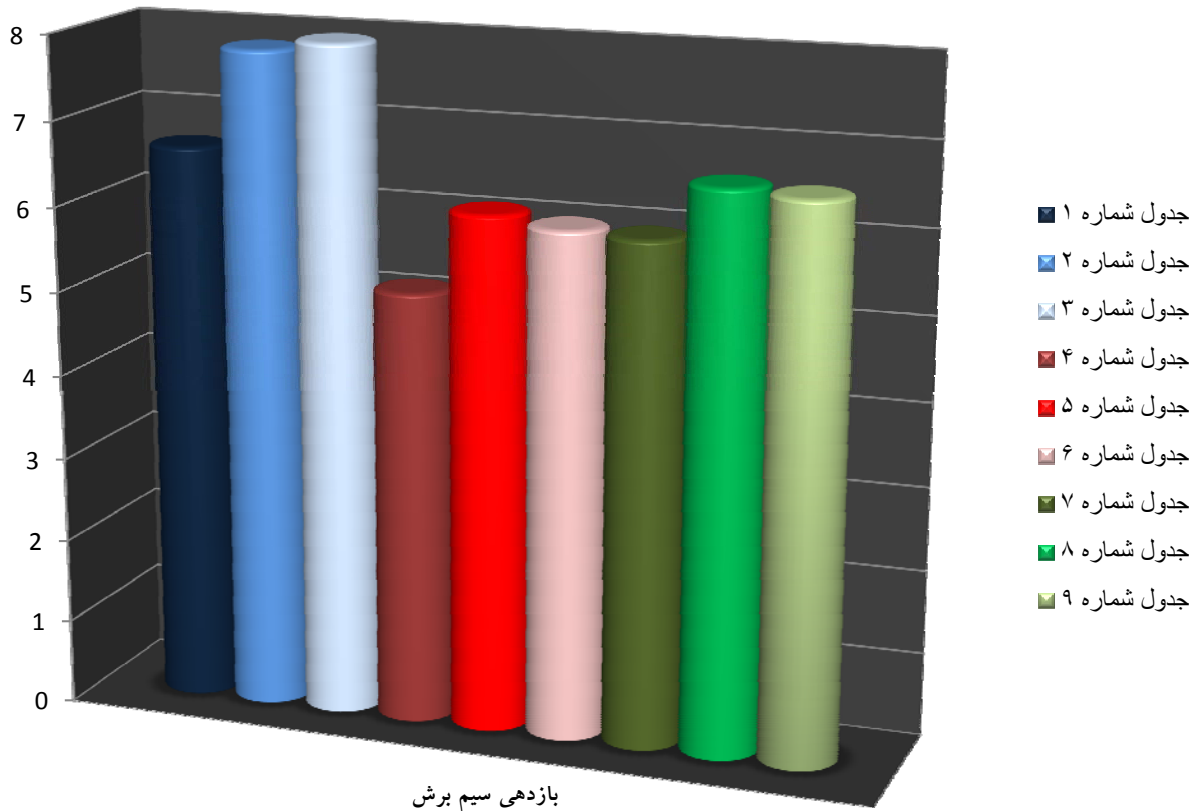
تصویر ۵ - نمودار طرح سیم برش الماسه.

جدول ۲ - پارامترهای تأثیرگذار بر بازدهی سیم برش و مصرف ویژه سیم.

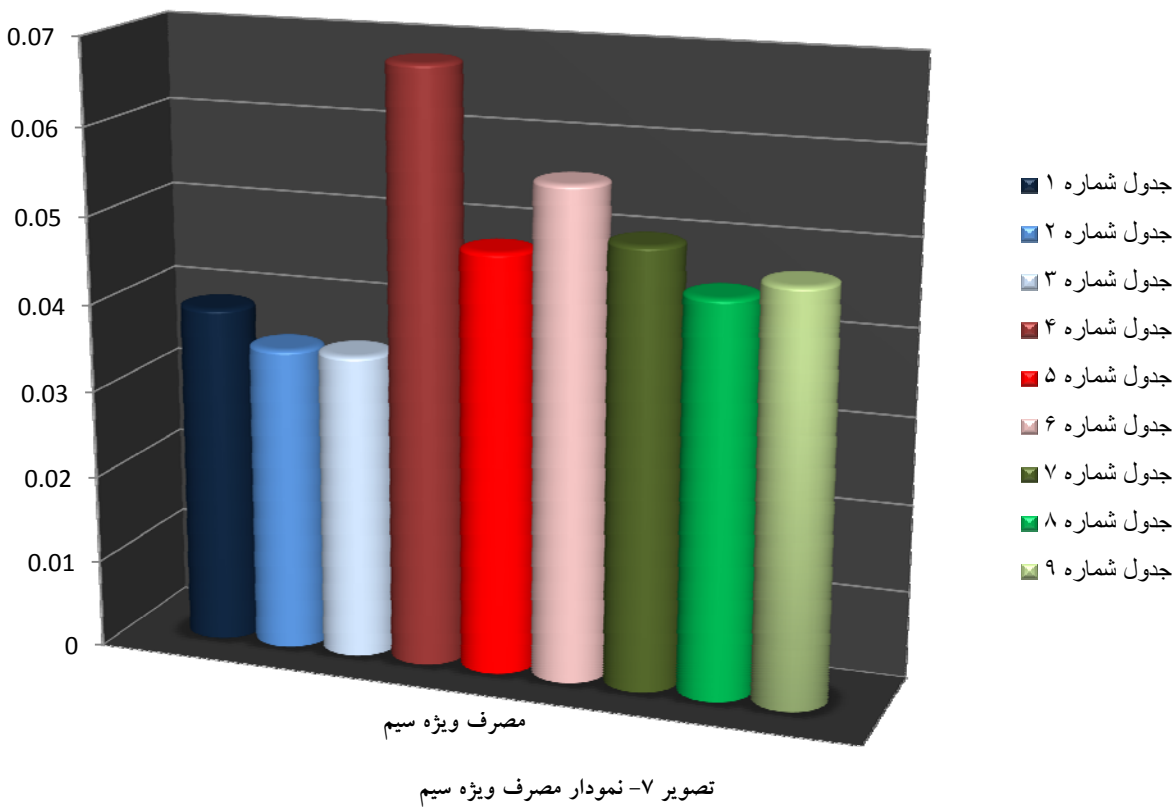
خصوصیات عملیات برش		خصوصیات ماشین برش	
خصوصیات زمین شناسی		ثابت	توان دینام
ثابت	سختی	ثابت	مهارت اپراتور
ثابت	میزان کانی های ناپایدار	ثابت	تکنیک های استفاده شده
ثابت	بافت و ساخت سنگ	متغیر	سرعت سیم
ثابت	ترکیب کانی شناسی	ثابت	نوسان برق
ثابت	دوام سنگ	ثابت	ساختار سگمنت های الماسه
ثابت	مقاومت فشاری	ثابت	ارتعاش ماشین
ثابت	درصد جذب آب	ثابت	جهت و سرعت تزریق آب
ثابت	وزن مخصوص	متغیر	ابعاد بلوک
		ثابت	نوسان سیم در حین برش

جدول ۳- محاسبات آماری مصرف ویژه سیم و بازدهی سیم برش جداول مذکور

بازدهی سیم برش (متر مربع بر ساعت)	مصرف ویژه سیم (متر بر متربعد)	
$912/137=6.66$	$36/912=0.039$	جدول شماره ۱
$1152/147=7.83$	$40/1152=0.035$	جدول شماره ۲
$1280/161=7.95$	$45/1280=0.035$	جدول شماره ۳
$528/102:30=4.15$	$36/528=0.068$	جدول شماره ۴
$832/136=6.12$	$40/832=0.048$	جدول شماره ۵
$800/133=6.01$	$45/800=0.056$	جدول شماره ۶
$720/120:30=6.61$	$36/720=0.05$	جدول شماره ۷
$896/135:30=6.61$	$40/896=0.045$	جدول شماره ۸
$960/146:30=6.55$	$45/960=0.047$	جدول شماره ۹
مجموع		



تصویر ۶- نمودار بازدهی سیم برش



این مقاله بهترین ابعاد برش جهت بهینه سازی تولید در زمان عدم وجود ناخالصی را 10×8 متر یعنی 80 متر مربع و در زمان وجود ناخالصی 8×8 متر یعنی 64 متر مربع در معادن سنگ تراورتن شرکت احرار سپاهان توصیه می‌کند. در معادن سنگ تراورتن نمی‌توان سرعت برش را به صورت مطلق در نظر گرفت و بایستی با تلفیق علوم زمین‌شناسی و معادن، بهره برداری از معادن را به صورت بهینه انجام داد.

بر اساس نمودار تصویر ۷، در زمان عدم وجود ناخالصی با افزایش ابعاد برش و افزایش سرعت برش، نه تنها کاهشی در بازدهی سیم برش و مصرف ویژه سیم ایجاد نمی‌شود، بلکه می‌توان موجبات افزایش راندمان تولید را نیز فراهم نمود و در زمان وجود ناخالصی با توجه به مقدار و نوع آن باید سرعت برش بهینه را بدست آورد.

۱۱- تئیم‌گیری

یکی از پارامترهای غیر قابل کنترل در سیستم استخراج معادن سنگ تراورتن وجود ترکیبیات متفاوت و ناخالصی‌ها می‌باشد. این ترکیبیات موجب تغییر در سرعت برش و در نهایت تفاوت در راندمان تولید معادن سنگ تراورتن می‌شوند. که با استفاده صحیح از دستگاه سیم برش می‌توان این پارامتر غیرقابل کنترل را کنترل کرده و با کاهش هزینه‌ها به جمع آوری داده‌های لازم جهت سازماندهی استخراج نهایی به شیوه صحیح پرداخت. به عبارت دیگر در زمانی که میزان ناخالصی در سنگ تراورتن کمتر باشد می‌توان با افزایش سرعت کشش سیم و افزایش ابعاد برش موجبات کاهش هزینه‌ها را فراهم نمود، اما این روند را باید تا جایی ادامه داد که شرایط ایمنی کار و توانایی تجهیزات مورد استفاده مد نظر قرار گیرد.

تقدیر و تشکر

نویسنده‌گان مقاله از هیأت مدیره شرکت احرار سپاهان، آقای فضل‌الله نجفیان مدیر عامل شرکت، آقای رضا سلیمانی معاون معادن و آقای عباس شیرانی معاون مالی اداری مترو اصفهان و کلیه عزیزانی که در این پژوهش همکاری نمودند تشکر و قدردانی می‌نمایند.

مراجع

رضایی مقدم، م. ح. و قدری، م. ر.، ۱۳۸۹، "تحویه تشکیل و تحول کانال‌های خود ساخته آهکی و نقش آن‌ها در مورفولوژی زمین‌های آهکی (سکوی تراورتنی تخت سلیمان)", مجله جغرافیا و برنامه‌ریزی محیطی، سال ۲۱، شماره پیاپی ۳۱(۲): ۱-۱۶.

رهبر، ی. و نبوی، م..، ۱۳۷۷، "ویژگی هایی از تراورتن های تزیینی آذربایجان"؛ اولین سمینار سنگ های نما و تزیینی ایران: ۶۴-۶۳.

طبیبی، ع. و توفیقیان، ح..، ۱۳۸۱، "بررسی و شناسایی باستان شناسی دریاچه تخت سلیمان"؛ پژوهشکارهای باستان شناسی سازمان میراث فرهنگی، ۷۴۷ ص.

عارف، س..، ۱۳۷۲، "مطالعات شناسایی منابع آبگرم منطقه تخت سلیمان"؛ گزارش سازمان آب منطقه ای آذربایجان غربی، ۴۵۴ ص.

عطایی، م..، ۱۳۸۷، "استخراج سنگ های ساختمانی"؛ دانشگاه صنعتی شاهزاد، ۳۱۷ ص.

موسوی حرمنی، ر. و محبوی، ا..، ۱۳۷۳، "سنگ شناسی رسوبی"؛ جهاد دانشگاهی مشهد، ۴۹۳ ص.

نصرالصفهانی، ع. و رئیسی دهکردی، م..، ۱۳۸۷، "پترولوزی تراورتن های جنوب میلاجرد (شمال غرب ارdestan، اصفهان)"؛ مجله پژوهشی دانشگاه اصفهان، ج. ۳۴، ش. ۵، ص ۱۷۱-۱۷۶.

Altunel, E. & Hancock, P. L., 1996, "Structural attributes of travertine-Filled extensional Fissures in the Pamukkale Plateau, Westarn Turkey", *International Geology Review Vol. 38 (8): 763-777.*

Bargar, K. E., 1978, "Geology and thermal history of Mammoth itot springs, Yellowstone National Park", *Bulletin of the United States Geological Survey, Ser. 1444: 1-5.*

Chafetzza, H. S. & Folk R. L., 1984, "Travertines depositional morphology and bacterially constructed constituents", *Journal of Sedimentary Research, Vol. 54 (1): 289-316.*

Fouke, B.W., Farmaer, J.D., Des. Marais, D.J., Pratt, L., Sturkio, N.C., Burns, P. C. & Discipulo, M.k. 2000, "Depositional facies and aqueous-solid geochemistry of travertine depositing hot springs", *Journal Sediment Res A Sediment Petrol Process, Vol. 70 (3): 189-213.*

Glover, C. & Robertson, A.F.H., 2003, "Origin of tufacool water carbonate and related terraces in the Antalya area Sw Turkey", *Geological Journal, Vol. 38: 329-353.*

Marks, J., Parnell, R Carter, C. Dinger, E. & Haden, G., 2006, "Interaction between geomorphology and ecosystem Process in travertine streams, Implications for decommissioning a dam on Fossil Creek", *Arizona, Geothermics, Vol. 59: 273-298.*

Mitchell, R. S., 1985, "Dictionary of rocks", New York, 228 pp.

Pentecost, A. & Viles, H.A., 1994, "A review and assessment of travertine classification", *Geo. Physics. Quaternary, Vol. 48: 305-314.*

Pentecost, A., 1995, "Geochemistry of Carbon dioxide in six travertine depositing waters of Italy", *Journal Hydrology, Vol. 167: 263-278*

پیوست ۱

ترکیبات: کربنات کلسیم فاقد آهن و منگنز					
ردیف	سرعت برش (A)	طول سیم (متر)	ابعاد برش	مقدار برش (متر مربع)	ساعت برش
۱	۵۵	۳۶	۸×۶	۴۸	۷
۲	۵۵	۳۶	۸×۶	۴۸	۷
۳	۵۵	۳۶	۸×۶	۴۸	۷:۱۵
۴	۵۵	۳۶	۸×۶	۴۸	۷
۵	۵۵	۳۶	۸×۶	۴۸	۶:۴۵
۶	۵۵	۳۶	۸×۶	۴۸	۷
۷	۵۵	۳۶	۸×۶	۴۸	۷:۳۰
۸	۵۵	۳۶	۸×۶	۴۸	۷
۹	۵۵	۳۶	۸×۶	۴۸	۷
۱۰	۵۵	۳۶	۸×۶	۴۸	۷:۳۰
۱۱	۵۵	۳۶	۸×۶	۴۸	۷:۴۵
۱۲	۵۵	۳۶	۸×۶	۴۸	۷:۴۵
۱۳	۵۵	۳۶	۸×۶	۴۸	۷:۱۵
۱۴	۵۵	۳۶	۸×۶	۴۸	۷
۱۵	۵۵	۳۶	۸×۶	۴۸	۷
۱۶	۵۵	۳۶	۸×۶	۴۸	۷
۱۷	۵۵	۳۶	۸×۶	۴۸	۷
۱۸	۵۵	۳۶	۸×۶	۴۸	۷
۱۹	۵۵	۳۶	۸×۶	۴۸	۷:۱۵
جمع		۳۶		۹۱۲ مترمربع	۱۳۷

پیوست ۲

ترکیبات: کربنات کلسیم فاقد آهن و منگنز					
ردیف	سرعت برش (A)	طول سیم (متر)	ابعاد برش	مقدار برش (متر مربع)	ساعت برش
۱	۵۵	۴۰	۸×۸	۶۴	۸
۲	۵۵	۴۰	۸×۸	۶۴	۸
۳	۵۵	۴۰	۸×۸	۶۴	۸
۴	۵۵	۴۰	۸×۸	۶۴	۸
۵	۵۵	۴۰	۸×۸	۶۴	۸:۳۰
۶	۵۵	۴۰	۸×۸	۶۴	۸
۷	۵۵	۴۰	۸×۸	۶۴	۸:۱۵
۸	۵۵	۴۰	۸×۸	۶۴	۸:۴۵
۹	۵۵	۴۰	۸×۸	۶۴	۸
۱۰	۵۵	۴۰	۸×۸	۶۴	۹
۱۱	۵۵	۴۰	۸×۸	۶۴	۸
۱۲	۵۵	۴۰	۸×۸	۶۴	۸
۱۳	۵۵	۴۰	۸×۸	۶۴	۸
۱۴	۵۵	۴۰	۸×۸	۶۴	۸:۳۰
۱۵	۵۵	۴۰	۸×۸	۶۴	۸
۱۶	۵۵	۴۰	۸×۸	۶۴	۸
۱۷	۵۵	۴۰	۸×۸	۶۴	۸
۱۸	۵۵	۴۰	۸×۸	۶۴	۸
جمع		۴۰		۱۱۵۲ مترمربع	۱۴۷

پیوست ۱۳

جدول شماره ۳		ترکیبات: کربنات کلسیم فاقد آهن و منگنز				
ردیف	سرعت برش (A)	طول سیم (متر)	ابعاد برش	مقدار برش (متر مربع)	ساعت برش	جدول شماره ۳
۱	۶۰	۴۵	۸×۱۰	۸۰	۹:۳۰	
۲	۶۰	۴۵	۸×۱۰	۸۰	۱۰	
۳	۶۰	۴۵	۸×۱۰	۸۰	۱۰:۳۰	
۴	۶۰	۴۵	۸×۱۰	۸۰	۱۰	
۵	۶۰	۴۵	۸×۱۰	۸۰	۱۰	
۶	۶۰	۴۵	۸×۱۰	۸۰	۱۰:۳۰	
۷	۶۰	۴۵	۸×۱۰	۸۰	۱۰	
۸	۶۰	۴۵	۸×۱۰	۸۰	۱۰	
۹	۶۰	۴۵	۸×۱۰	۸۰	۱۰	
۱۰	۶۰	۴۵	۸×۱۰	۸۰	۱۰	
۱۱	۶۰	۴۵	۸×۱۰	۸۰	۱۰	
۱۲	۶۰	۴۵	۸×۱۰	۸۰	۱۰:۳۰	
۱۳	۶۰	۴۵	۸×۱۰	۸۰	۱۰	
۱۴	۶۰	۴۵	۸×۱۰	۸۰	۱۰	
۱۵	۶۰	۴۵	۸×۱۰	۸۰	۱۰	
۱۶	۶۰	۴۵	۸×۱۰	۸۰	۱۰	
جمع	۴۵			۱۲۸۰	۱۶۱ متر	متر مربع

پیوست ۱۴

جدول شماره ۴		ترکیبات: کربنات کلسیم و ترکیبات آهن				
ردیف	سرعت برش (A)	طول سیم (متر)	ابعاد برش	مقدار برش (متر مربع)	ساعت برش	جدول شماره ۴
۱	۴۵	۳۶	۸×۶	۴۸	۹	
۲	۴۵	۳۶	۸×۶	۴۸	۱۰	
۳	۴۵	۳۶	۸×۶	۴۸	۹	
۴	۴۵	۳۶	۸×۶	۴۸	۹	
۵	۴۵	۳۶	۸×۶	۴۸	۹	
۶	۴۵	۳۶	۸×۶	۴۸	۹:۳۰	
۷	۴۵	۳۶	۸×۶	۴۸	۹:۳۰	
۸	۴۵	۳۶	۸×۶	۴۸	۹	
۹	۴۵	۳۶	۸×۶	۴۸	۹:۳۰	
۱۰	۴۵	۳۶	۸×۶	۴۸	۹:۱۵	
۱۱	۴۵	۳۶	۸×۶	۴۸	۹:۴۵	
جمع	۳۶			۵۲۸ متر مربع	۱۰:۲۳۰ ساعت	

پیوست ۵

جدول شماره ۵		ترکیبات: کربنات کلسیم و ترکیبات آهن				
ردیف	سرعت برش (A)	طول سیم (متر)	ابعاد برش	مقادیر بش (متر مربع)	ساعت بش	جدول شماره ۵
۱	۴۵	۴۰	۸×۸	۶۴	۱۰	
۲	۴۵	۴۰	۸×۸	۶۴	۱۱	
۳	۴۵	۴۰	۸×۸	۶۴	۱۱	
۴	۴۵	۴۰	۸×۸	۶۴	۱۰	
۵	۴۵	۴۰	۸×۸	۶۴	۱۰	
۶	۴۵	۴۰	۸×۸	۶۴	۱۱	
۷	۴۵	۴۰	۸×۸	۶۴	۱۱	
۸	۴۵	۴۰	۸×۸	۶۴	۱۱	
۹	۴۵	۴۰	۸×۸	۶۴	۱۰	
۱۰	۴۵	۴۰	۸×۸	۶۴	۱۰	
۱۱	۴۵	۴۰	۸×۸	۶۴	۱۱	
۱۲	۴۵	۴۰	۸×۸	۶۴	۱۰	
۱۳	۴۵	۴۰	۸×۸	۸۳۲	۱۳۶ ساعت	جمع

پیوست ۶

جدول شماره ۶		ترکیبات: کربنات کلسیم و ترکیبات آهن				
ردیف	سرعت برش (A)	طول سیم (متر)	ابعاد برش	مقادیر بش (متر مربع)	ساعت بش	جدول شماره ۶
۱	۵۰	۴۵	۸×۱۰	۸۰	۱۳	
۲	۵۰	۴۵	۸×۱۰	۸۰	۱۳	
۳	۵۰	۴۵	۸×۱۰	۸۰	۱۴	
۴	۵۰	۴۵	۸×۱۰	۸۰	۱۲:۳۰	
۵	۵۰	۴۵	۸×۱۰	۸۰	۱۳	
۶	۵۰	۴۵	۸×۱۰	۸۰	۱۲:۳۰	
۷	۵۰	۴۵	۸×۱۰	۸۰	۱۳	
۸	۵۰	۴۵	۸×۱۰	۸۰	۱۳	
۹	۵۰	۴۵	۸×۱۰	۸۰	۱۴	
۱۰	۵۰	۴۵	۸×۱۰	۸۰	۱۳۳ ساعت	جمع

پیوست ۷

جدول شماره ۷		ترکیبات: کربنات کلسیم و ترکیبات آهن و منگنز				
ردیف	سرعت برش (A)	طول سیم (متر)	ابعاد برش	مقدار برش (متر مربع)	ساعت برش	جدول شماره ۷
۱	۵۰	۳۶	۸×۶	۴۸	۸	
۲	۵۰	۳۶	۸×۶	۴۸	۸	
۳	۵۰	۳۶	۸×۶	۴۸	۸	
۴	۵۰	۳۶	۸×۶	۴۸	۷	
۵	۵۰	۳۶	۸×۶	۴۸	۸	
۶	۵۰	۳۶	۸×۶	۴۸	۷:۳۰	
۷	۵۰	۳۶	۸×۶	۴۸	۸:۳۰	
۸	۵۰	۳۶	۸×۶	۴۸	۷	
۹	۵۰	۳۶	۸×۶	۴۸	۸	
۱۰	۵۰	۳۶	۸×۶	۴۸	۸:۳۰	
۱۱	۵۰	۳۶	۸×۶	۴۸	۸:۳۰	
۱۲	۵۰	۳۶	۸×۶	۴۸	۸:۱۵	
۱۳	۵۰	۳۶	۸×۶	۴۸	۸:۴۵	
۱۴	۵۰	۳۶	۸×۶	۴۸	۸:۳۰	
۱۵	۵۰	۳۶	۸×۶	۴۸	۸	
جمع		۳۶		۷۲۰	۱۲۰:۳۰	

پیوست ۸

جدول شماره ۸		ترکیبات: کربنات کلسیم و ترکیبات آهن و منگنز				
ردیف	سرعت برش (A)	طول سیم (متر)	ابعاد برش	مقدار برش (متر مربع)	ساعت برش	جدول شماره ۸
۱	۵۰	۴۰	۸×۸	۶۴	۹	
۲	۵۰	۴۰	۸×۸	۶۴	۱۰	
۳	۵۰	۴۰	۸×۸	۶۴	۹	
۴	۵۰	۴۰	۸×۸	۶۴	۱۰	
۵	۵۰	۴۰	۸×۸	۶۴	۱۰	
۶	۵۰	۴۰	۸×۸	۶۴	۹	
۷	۵۰	۴۰	۸×۸	۶۴	۱۰	
۸	۵۰	۴۰	۸×۸	۶۴	۹:۳۰	
۹	۵۰	۴۰	۸×۸	۶۴	۱۰	
۱۰	۵۰	۴۰	۸×۸	۶۴	۹:۳۰	
۱۱	۵۰	۴۰	۸×۸	۶۴	۱۰	
۱۲	۵۰	۴۰	۸×۸	۶۴	۹:۳۰	
۱۳	۵۰	۴۰	۸×۸	۶۴	۱۰	
۱۴	۵۰	۴۰	۸×۸	۶۴	۱۰	
جمع		۴۰		۸۹۶	۱۳۵:۳۰	

پیوست ۹

جدول شماره ۹

ترکیبات: کربنات کلسیم و ترکیبات آهن و منگنز

ردیف	سرعت برش (A)	طول سیم (متر)	ابعاد برش	مقدار برش (متر مربع)	ساعت برش
۱	۵۵	۴۵	۸×۱۰	۸۰	۱۳
۲	۵۵	۴۵	۸×۱۰	۸۰	۱۲
۳	۵۵	۴۵	۸×۱۰	۸۰	۱۱
۴	۵۵	۴۵	۸×۱۰	۸۰	۱۲
۵	۵۵	۴۵	۸×۱۰	۸۰	۱۲
۶	۵۵	۴۵	۸×۱۰	۸۰	۱۲
۷	۵۵	۴۵	۸×۱۰	۸۰	۱۳
۸	۵۵	۴۵	۸×۱۰	۸۰	۱۲
۹	۵۵	۴۵	۸×۱۰	۸۰	۱۲
۱۰	۵۵	۴۵	۸×۱۰	۸۰	۱۳
۱۱	۵۵	۴۵	۸×۱۰	۸۰	۱۲
۱۲	۵۵	۴۵	۸×۱۰	۸۰	۱۲:۳۰
جمع		۴۵	۸×۱۰	۹۶۰	۱۴۶:۳۰